

Расстояние, на к-ром система возвращается к исходному состоянию, наз. **длиной осцилляции**. В обоих случаях (нерелятивистском и релятивистском)

$$l_{\text{осц}} = v^r T_{\text{осц}} = \frac{4\pi r}{\Delta m^2}, \quad (5)$$

где v^r — групповая скорость пакетов.

Макс. отличие состояния $|A\rangle$ от исходного наблюдается в моменты времени t_n , когда $\Delta\phi(t_n) = \pi + 2\pi n$ ($n = 0, 1, 2, \dots$), при этом вероятность обнаружить частицу B определяется глу. и у. осцилляций:

$$a = |\langle B | A(t_n) \rangle|^2 = \sin^2(2\theta). \quad (6)$$

Вероятность обнаружить частицу A в произвольный момент t равна:

$$P_{A \rightarrow A}(t) = \bar{P} + \frac{1}{2} a \cos \frac{2\pi t}{T_{\text{осц}}}, \quad (7)$$

где

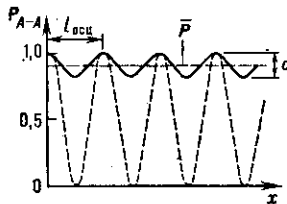
$$\begin{aligned} \bar{P} &\equiv \frac{1}{2} (P_{\text{макс}} + P_{\text{мин}}) = \frac{1}{2} [1 + (1 - a)] = \\ &= 1 - \frac{1}{2} \sin^2(2\theta) = \end{aligned} \quad (8)$$

ср. значение, или вероятность, усреднённая по периоду (рис. 2). Выражение (7) может быть переписано в наиб. часто используемом виде

$$P_{A \rightarrow A}(t) = 1 - \sin^2(2\theta) \sin^2 \frac{\pi t}{T_{\text{осц}}} = 1 - \sin^2(2\theta) \sin^2 \frac{\pi x}{l_{\text{осц}}} \quad (9)$$

(x — расстояние от точки рождения частицы A до точки наблюдения). Вероятность перехода $A \rightarrow B$ равна $P_{A \rightarrow B} = 1 - P_{A \rightarrow A}$.

Рис. 2. Пространственная картина осцилляций. Зависимость от расстояния x вероятности обнаружить частицу исходного типа: сплошная линия — малое смешивание; пунктир — максимальное смешивание.



Глубина O , а и ср. вероятность \bar{P} определяются только углом θ , причём в случае макс. смешивания глубина наибольшая: $a = 1$, $\bar{P} = 1/2$.

O являются по существу интерференц. эффектом. Компоненты $|f_1\rangle$ и $|f_2\rangle$, составляющие $|A\rangle$, могут быть разложены в соответствии с (1) по состояниям $|A\rangle$, $|B\rangle$ с определ. ароматами. Т. о. возникают две волны $|f_1'\rangle$ и $|f_2'\rangle$ от $|f_1\rangle$ и $|f_2\rangle$, имеющие одинаковый аромат, но разные фазовые скорости. Эти волны интерферируют, и результат интерференции определяет амплитуду вероятности обнаружить частицу A в состоянии $|A(t)\rangle$. Из-за различия в фазовых скоростях волн характер интерференции изменяется от максимально конструктивной в моменты $t = n \cdot T_{\text{осц}}$ до максимально деструктивной при $t = (1/2 + n) \cdot T_{\text{осц}}$, $n = 0, 1, 2, \dots$ Аналогично описывается O . F_B -аромата.

Если область генерации частиц или размеры детектора превышают $l_{\text{осц}}$ или если энергетич. разрешение установки невелико: $\Delta\theta/\theta > l_{\text{осц}}/r$, где r — расстояние от источника до детектора, то происходит усреднение O , и измерения дадут $P = \bar{P}$. Это усреднение имеет квантоворемехнич. природу и соответствует потере коherентности между $|f_1\rangle$ и $|f_2\rangle$, к-рая может быть связана либо с большими размерами волновых пакетов, либо с тем, что разность фаз $\Delta\phi$ оказывается случайной величиной. (В первом случае в разных точках пакетов $\Delta\phi$ принимает значения от 0 до $\Delta\phi_m \gg 2\pi$.) Интерференция волн $|f_1'\rangle$ и $|f_2'\rangle$ при этом исчезает.

Обобщения. Аналоги осцилляций. Выделяют два типа осцилляций: O . частица — античастица ($A \leftrightarrow \bar{A}$) с изменением аромата на двойку, т. е. $|\Delta F| = 2$; O . частиц с разными ароматами, когда $|\Delta F_A| = |\Delta F_B| =$

= 1. Для $A \leftrightarrow \bar{A}$ реализуется случай макс. смешивания. Это связано с тем, что в силу теоремы СРТ диагональные элементы массовой матрицы, т. е. амплитуды переходов $A \rightarrow A$ и $A \rightarrow \bar{A}$, одинаковы. К указанному типу относят O . $K^0 \leftrightarrow \bar{K}^0$, $B^0 \leftrightarrow \bar{B}^0$, $n \leftrightarrow \bar{n}$, мюоний — антимюоний и др. Взаимодействие осциллирующей системы с веществом и внеш. полями устраивает равенство диагональных элементов, и смешивание становится не максимальным.

Для O . второго типа, по-видимому, типично малое смешивание, как это имеет место для кварков, а следовательно, и малая глубина O . Такая ситуация может реализоваться для нейтрино: $v_e \leftrightarrow v_u$, $v_e \leftrightarrow v_s$.

O . имеют ряд аналогов в др. областях физики, прежде всего в механике. По существу это биения в системе слабосвязанных осцилляторов, напр. маятников. Колебания одного маятника соответствуют распространению частицы A , колебания другого — распространению частицы B . Связь между осцилляторами эквивалентна взаимодействию, переводящему A в B . Периодич. передача колебаний от одного маятника другому есть аналог O . Осцилляции аналогичны таким явлениям, как вращение плоскости поляризации света в оптически активных средах, прецессия спина частиц в магн. поле и др.

В случае смешивания трёх и более частиц (напр., трёх нейтрино v_e , v_μ , v_τ) осцилляц. вероятности оказываются суперпозициями трёх и более периодич. ф-ций (9). С практическим зрения важной характеристикой является наиб. возможное подавление потока исходных частиц в результате усреднения O . Минимизация вероятности $P_{A \rightarrow A}$ по углам смешивания даёт для системы N частиц:

$$P_{A \rightarrow A}^{\text{мин}} = \frac{1}{N}.$$

Если при смешивании СР-чётность сохраняется, то вероятности осцилляц. переходов для частиц и античастиц совпадают: $\Delta P = P_{A \rightarrow B} - P_{\bar{A} \rightarrow \bar{B}} = 0$. Нарушение СР-инвариантности связано с появлением комплексной фазы $e^{i\delta}$ в матрице смешивания. При этом разность вероятностей $\Delta P \sim \sin 2\delta$ отлична от нуля.

Осцилляционные эксперименты. O . непосредственно проявляются в том, что в пучке частиц, состоящем первоначально из частиц A , в процессе его распространения периодически появляется и исчезает примесь частиц B . Детекторы, расположенные на разных расстояниях от источника A , будут регистрировать разные примеси B в соответствии с разное подавление исходного A -потока (рис. 2). При фиксиров. расстоянии источник — детектор и непрерывном энергетич. спектре частиц O . приводят к появлению квазипериодич. структуры на спектре частиц A вследствие зависимости длины O . от энергии [см. (5)].

Картина O . искается, если одна или обе частицы f_1 и f_2 распадаются, как это имеет место, напр., для K^0 , B^0 -мезонов. Распад в осциллирующем состоянии (2) описывается дополнит. факторами $\exp(-\Gamma_i t/2)$ перед $|f_i\rangle$, где Γ_i — ширина распада частицы f_i . Это приводит к экспоненц. затуханию O : \bar{P} и a уменьшаются.

Др. фактор, влияющий на O . — расхождение волновых пакетов $|f_1\rangle$ и $|f_2\rangle$ из-за различия их групповых скоростей. В процессе движения пакеты смещаются друг относительно друга и, т. к. они имеют конечные размеры, их перекрытие уменьшается, соответственно уменьшается глубина O . При полном расхождении пакетов O . исчезает.

Параметры O . — глубина, ср. вероятность и длина — зависят от Δm (Δm^2) и θ [см. (3), (4), (6)]. Поэтому исследование осцилляц. эффектов является методом измерения разностей масс (квадратов масс) и углов смешивания. Отрицат. результат поиска O . в предельных случаях может означать, что либо мало смешивание и глу-